

Д.П. БЕЛОЗЁРОВ, м.н.с., Институт ионосферы, Харьков
Т.А. СКВОРЦОВ, д-р техн. наук, с.н.с., Институт ионосферы,
Харьков

МАРКОВСКАЯ МОДЕЛЬ НЕКОГЕРЕНТНО РАССЕЙННОГО ИОНОСФЕРОЙ СИГНАЛА

Розглядається можливість використання марківської моделі випадкового процесу для імітування розсіяного іоносферою сигналу в приймачі радіолокатора некогерентного розсіяння.

Рассматривается возможность использования марковской модели случайного процесса для имитирования рассеянного ионосферой сигнала в приемнике радиолокатора некогерентного рассеяния.

The possibility of using a Markov model to simulate the stochastic process of the scattered signal in the ionosphere incoherent scatter radar is considered.

Введение. Одним из методов исследования ионосферы является метод некогерентного рассеяния (НР) [1]. Его суть заключается в том, что высокопотенциальный радиолокатор облучает ионосферу, а на выходе приемника наблюдается сигнал, рассеянный на пространственных неоднородностях электронной концентрации. Рассеянный сигнал на выходе приемника является стохастическим процессом, близким к нормальному.

Параметры ионосферы (температура электронов и ионов, концентрация электронов, скорость дрейфа плазмы) определяются путем корреляционного или спектрального анализа данного процесса.

При этом обратная задача рассеяния решается путем сравнения измеренных автокорреляционных функций (АКФ) с эталонными АКФ и выбора оптимальной оценки АКФ по критерию наименьших квадратов.

Поскольку эталонные АКФ получаются путем решения прямой задачи рассеяния при заданных параметрах ионосферы, с учетом влияния аппаратурных факторов и методических погрешностей, то по оценке АКФ можно найти оценки соответствующие оценки параметров ионосферы.

Для получения достоверной информации приходится решать две задачи:

- контроль аппаратурных факторов в ходе сеансов измерений;
- оценка методических погрешностей, связанных с несовершенством алгоритмов, влиянием помех и временными ограничениями объема анализируемой выборки.

Обе задачи могут решаться путем использования имитаторов сигналов НР. При этом сигналы, имитирующие реальные принимаемые сигналы

радиолокатора, могут подаваться в различные точки приемного тракта, включая вход коррелометра.

В настоящее время в Институте ионосферы (г. Харьков) применяется аналоговый имитатор сигнала НР в виде “окрашенного” белого шума [2, 3]. Недостатками такого имитатора являются: невозможность варьировать параметрами имитационного сигнала в реальном времени, когда требуется протестировать радиолокатор НР в ходе сеанса измерений, трудность перестройки фильтров аналогового имитатора для моделирования различных параметров ионосферной среды; изменение статистических характеристик имитационного сигнала в результате старения электронных элементов.

Для устранения вышеперечисленных недостатков целесообразно использовать цифровые имитаторы сигнала НР.

Известно, что для моделирования случайных процессов можно использовать метод формирующего фильтра либо метод канонических разложений [4].

Достоинством метода канонических разложений является возможность вычислений процесса для любого момента времени. Однако принимаемый сигнал в радиолокаторах НР квантуется во времени, что аннулирует указанное достоинство.

В то же время достоинствами метода формирующего фильтра является существенно более высокое быстродействие, а также простота реализации. Эти достоинства оказываются весьма полезными с учетом необходимости формирования сложных моделей ионосферы [5], а особенно при имитации сигнала в ходе сеанса измерений.

Для синтеза сигнала методом формирующего фильтра целесообразно использовать теорию синтеза марковских процессов с заданными корреляционными свойствами [6].

Целью работы является рассмотрение возможности применения марковских моделей для имитации сигнала НР.

Разработка и обоснование методики моделирования. Известно, что спектры марковских процессов описываются дробно-рациональной функцией вида

$$s_{\lambda}(\omega) \sim \frac{|P_m(j\omega)|^2}{|Q_n(j\omega)|^2}, \quad (1)$$

где $P_m(x) = b_0x^m + b_1x^{m-1} + \dots + b_{m-1}x + b_m$, $Q_n(x) = x^n + a_1x^{n-1} + \dots + a_{n-1}x + a_n$, причем все корни многочлена $Q(x)$ имеют отрицательные вещественные части.

Процесс с таким спектром может быть получен из белого нормального шума путем его обработки в соответствии со стохастическим дифференциальным уравнением вида [6]

$$\frac{d^n \lambda(t)}{dt^n} + a_1 \frac{d^{n-1} \lambda(t)}{dt^{n-1}} + \dots + a_{n-1} \frac{d \lambda(t)}{dt} + a_n \lambda(t) = b_0 \frac{d^m n(t)}{dt^m} + \dots + b_m n(t), \quad (2)$$

где $n(t)$ – нормальный белый шум, и его производные вводятся чисто формально, так как он не дифференцируем.

В то же время спектр сигнала НР имеет вид [7, 8]

$$s_N(\theta) \sim \frac{\sqrt{\frac{m_{i1}}{2KT_i}} \sum_{n=1}^N \gamma_n \sqrt{\frac{m_{in}}{m_1}} e^{-\frac{m_{in}}{m_1} \theta^2}}{\left[1 + \beta \left(1 - \sum_{n=1}^N \gamma_n \Phi \left(\sqrt{\frac{m_{in}}{m_1}} \theta \right) \right) \right]^2 + \pi \beta^2 \theta^2 \left(\sum_{n=1}^N \gamma_n \sqrt{\frac{m_{in}}{m_1}} e^{-\frac{m_{in}}{m_1} \theta^2} \right)^2}, \quad (3)$$

где r_e – радиус электрона, N_e – электронная концентрация,

$$\beta = \frac{T_e}{T_i} \quad \text{– отношение температур электронов и ионов,} \quad \theta = \frac{\omega}{k} \sqrt{\frac{m_i}{2KT_i}},$$

$$\Phi = 2\theta e^{-\theta^2} \int_0^\theta e^{\rho^2} d\rho, \quad \gamma_1 = \frac{[H^+]}{N_e}, \quad \gamma_2 = \frac{[He^+]}{N_e}, \quad \gamma_3 = \frac{[O^+]}{N_e}, \quad \gamma_N = \frac{[NN^+]}{N_e} = 1 - \gamma_1 - \dots - \gamma_{N-1},$$

m_i – масса ионов в атомных единицах массы, k – волновое число, K – постоянная Больцмана.

Таким образом, для получения марковской модели сигнала НР необходимо аппроксимировать спектр (3) выражением вида (1).

Такая аппроксимация была получена путем разложения числителя и знаменателя (3) в ряды Тейлора. При этом выражение теоретического спектра (3) аппроксимируется формулой вида

$$S(\omega) \approx \frac{\left[1 + \sum_{i=1}^l (-1)^i \frac{\omega^{2i}}{\prod_{j=1}^i 2j} \right]^2}{\left[1 + \nu \left(1 + \sum_{i=1}^l (-1)^i \frac{2^i \omega^{2i}}{\prod_{j=1}^i (2j-1)} \right) \right]^2 + \nu^2 \pi \left[\omega + \sum_{i=1}^l (-1)^i \frac{\omega^{2i+1}}{i!} \right]^2}, \quad (4)$$

где i, j – индексы (целые положительные числа), $n = 2l + 1$, здесь n – это порядок полинома, характеризующего знаменатель, ν – коэффициент, выбираемый из ширины спектра.

Отметим, что в известной литературе описаны марковские модели только для спектров достаточно простого вида. В то же время характерный спектр сигнала НР имеет двугорбый характер. Это может создавать известные проблемы с устойчивостью марковских моделей сигнала НР при увеличении степени знаменателя. Однако достаточно высокая точность аппроксимации может быть достигнута уже при малых степенях путем правильного выбора коэффициента ν .

В частности, при $l = 1$ (4) принимает вид

$$S(\omega) = \frac{\left(1 - \frac{\omega^2}{2}\right)^2}{(1 + \nu - 2\nu\omega^2)^2 + (\nu\sqrt{\pi}\omega - \nu\sqrt{\pi}\omega^3)^2}, \quad (5)$$

при этом расхождение спектра (3) и его аппроксимации (5) находятся в пределах 1–3%.

Перейдем от линейного дифференциального уравнения n -порядка (2) к системе линейных дифференциальных уравнений первого порядка. Обозначим $\lambda(t) = \lambda_1(t)$ и введем дополнительно $n - 1$ функций $\lambda_2(t), \dots, \lambda_n(t)$ при помощи системы следующих равенств

$$\begin{cases} \frac{d\lambda_1(t)}{dt} = \lambda_2(t), \\ \frac{d\lambda_2(t)}{dt} = \lambda_3(t), \\ \dots \\ \frac{d\lambda_{n-m-1}(t)}{dt} = \lambda_{n-m}(t), \\ \frac{d\lambda_{n-m}(t)}{dt} = \lambda_{n-m+1}(t) + \xi_{n-m}n(t), \\ \dots \\ \frac{d\lambda_{n-1}(t)}{dt} = \lambda_n(t) + \xi_{n-1}n(t). \end{cases} \quad (6)$$

Постоянные коэффициенты $\xi_{n-m}, \dots, \xi_{n-1}$ выбираются таким образом, чтобы из уравнения (2) исключить производные белого шума $n(t)$. Для этого подставим в (2) выражения в виде производных, полученных из (6). В результате получим

$$\begin{aligned} & \frac{d\lambda_n(t)}{dt} + a_n\lambda_1(t) + a_{n-1}\lambda_2(t) + \dots + a_1\lambda_n(t) + \xi_{n-m} \frac{d^m n(t)}{dt^m} + (\xi_{n-m+1} + a_1\xi_{n-m}) \frac{d^{m-1}n(t)}{dt^{m-1}} + \\ & + \dots + (\xi_{n-1} + a_1\xi_{n-2} + \dots + a_{m-1}\xi_{n-m}) \frac{dn(t)}{dt} + (a_1\xi_{n-1} + a_2\xi_{n-2} + \dots + a_m\xi_{n-m})n(t) = \quad (7) \\ & = b_0 \frac{d^m n(t)}{dt^m} + b_1 \frac{d^{m-1}n(t)}{dt^{m-1}} + \dots + b_{m-1} \frac{dn(t)}{dt} + b_m n(t). \end{aligned}$$

Приравнивая коэффициенты у одинаковых производных от $n(t)$ в левой и правой части написанного равенства, получаем рекуррентную формулу для определения коэффициентов ξ_k :

$$\xi_j = b_{j+m-n} - \sum_{i=1}^{j+m-n} a_i \xi_{j-i}. \quad (8)$$

При этом уравнение (7) принимает вид

$$\frac{d\lambda_n(t)}{dt} = - \sum_{i=1}^n a_{n+1-i} \lambda_i(t) + \xi_n n(t). \quad (9)$$

Система из n линейных дифференциальных уравнений (6) и (9) является системой, определяющей n -компонентный марковский процесс:

$$\left\{ \begin{array}{l} \frac{d\lambda_1(t)}{dt} = \lambda_2(t), \\ \dots \\ \frac{d\lambda_{n-m-1}(t)}{dt} = \lambda_{n-m}(t), \\ \dots \\ \frac{d\lambda_{n-m}(t)}{dt} = \lambda_{n-m+1}(t) + \xi_{n-m} n(t), \\ \frac{d\lambda_n(t)}{dt} = - \sum_{i=1}^n a_{n+1-i} \lambda_i(t) + \xi_n n(t). \end{array} \right. \quad (10)$$

При $n - m = 1$, система принимает вид

$$\left\{ \begin{array}{l} \frac{d\lambda_1(t)}{dt} = \lambda_2(t) + \xi_1 n(t), \\ \dots \\ \frac{d\lambda_{n-m}(t)}{dt} = \lambda_{n-m+1}(t) + \xi_{n-m} n(t), \\ \frac{d\lambda_{n-1}(t)}{dt} = \lambda_n(t) + \xi_{n-1} n(t), \\ \frac{d\lambda_n(t)}{dt} = - \sum_{i=1}^n a_{n+1-i} \lambda_i(t) + \xi_n n(t). \end{array} \right. \quad (11)$$

Сравнивая (1) и (5), можно определить коэффициенты системы уравнений (11) в виде

$$b_0 = \frac{1}{2}, b_2 = 1,$$

$$a_0 = \frac{\nu\sqrt{\pi}}{\nu\sqrt{\pi}} = 1, a_1 = \frac{2\nu}{\nu\sqrt{\pi}} = \frac{2}{\sqrt{\pi}}, a_2 = \frac{\nu\sqrt{\pi}}{\nu\sqrt{\pi}} = 1, a_3 = \frac{1+\nu}{\nu\sqrt{\pi}}.$$

Таким образом, система (11) приводится к виду

$$\begin{cases} \frac{d\lambda_1(t)}{dt} = \lambda_2(t) + \xi_1 n(t), \\ \frac{d\lambda_2(t)}{dt} = \lambda_3(t) + \xi_2 n(t), \\ \frac{d\lambda_3(t)}{dt} = -a_3\lambda_1(t) - a_2\lambda_2(t) - a_1\lambda_3(t) + (b_2 - a_1b_1 - a_1^2b_0 - a_2b_0)n(t), \end{cases} \quad (12)$$

где $\xi_1 = b_0$, $\xi_2 = b_1 - a_1b_0$.

Наконец, для реализации фильтра в цифровом виде переходим от дифференциальных уравнений (12) к их разностному аналогу:

$$\begin{cases} \lambda_1(t_{i+1}) = \lambda_1(t_i) + \Delta t(\lambda_2(t_i) + b_0 n(t_i)), \\ \lambda_2(t_{i+1}) = \lambda_2(t_i) + \Delta t(\lambda_3(t_i) + (b_1 - a_1b_0)n(t_i)), \\ \lambda_3(t_{i+1}) = \lambda_3(t_i) + \Delta t(-a_3\lambda_1(t_i) - a_2\lambda_2(t_i) - a_1\lambda_3(t_i)) + \\ + \Delta t(b_2 - a_1b_1 - a_1^2b_0 - a_2b_0)n(t_i). \end{cases} \quad (13)$$

Результаты моделирования. В соответствии с процедурой вычислений (13) была разработана программа, которая позволяет генерировать случайный процесс.

При реализации данной программы в качестве генератора белого гауссовского шума $n(t)$ использовался программный генератор, который вырабатывал случайную выборку некоррелированных отсчетов в диапазоне от -1 до $+1$ с дискретностью 10^{-5} , что вполне достаточно для адекватного моделирования сигнала НР.

Оценка работы программы показала ее достаточную эффективность. При большом количестве реализаций (не менее 10^4) среднеквадратическое отклонение АКФ модели сигнала от теоретической АКФ составляет $\delta \approx 0.0007$.

Дисплей имитатора сигнала НР представлен на рисунке. Вверху справа отображается одна из реализаций случайного процесса. Вверху слева показан вид спектра моделируемого сигнала при $\nu = 3$, который в масштабе данного изображения практически совпадает с аппроксимируемым спектром. Внизу отображается заданная АКФ, полученная путем Фурье-преобразования заданного спектра, а также АКФ сгенерированного процесса.

Последняя АКФ формировалась для оценки качества моделирования. При этом многократно генерировался ансамбль случайных процессов (100, 1000, 10000 реализаций) и вычислялась АКФ данного ансамбля. Как видно в масштабе рисунка обе АКФ практически совпадают.

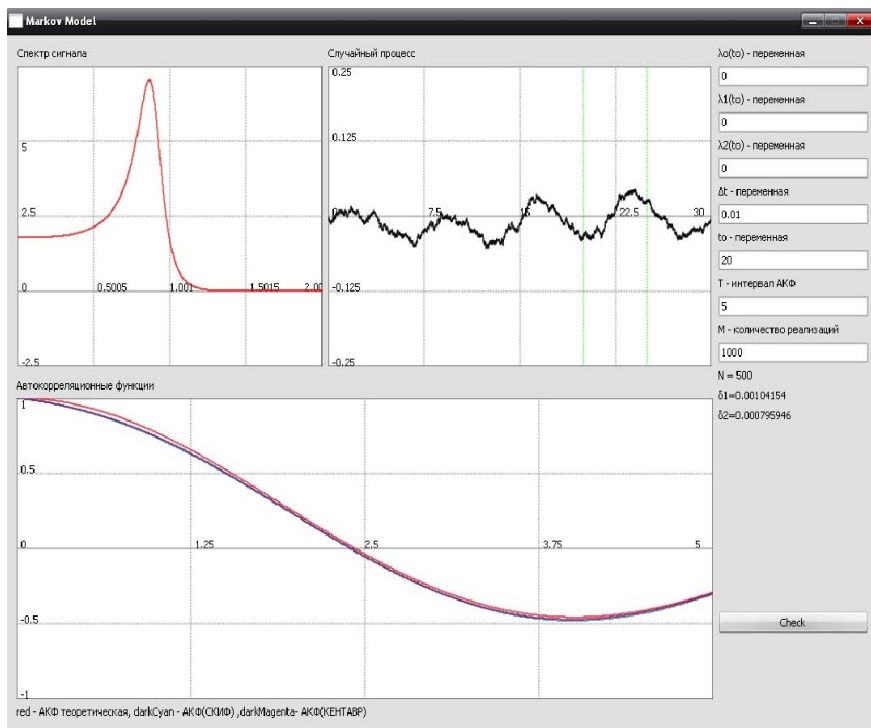


Рис. – Дисплей имитатора сигнала НР

Обсуждение. Теория построения имитаторов сигналов НР постоянно развивается, что подтверждает растущую актуальность рассматриваемых вопросов. При этом все шире используется компьютерное моделирование. В частности, в работе [9] описана модель, построенная методом канонических разложений в базе Фурье.

Дальнейшее приближение модели к реальному сигналу требует использования матричных моделей сигнала НР [5, 10].

В этой ситуации объем вычислений резко возрастает, что делает актуальными вопросы быстродействия имитаторов и их простоты.

В этих условиях целесообразно переходить при имитации сигнала НР от использования разложений в базе Фурье к использованию марковских моделей.

Действительно, при канонических разложениях вида [9] необходимо применять большое количество генераторов гармоник (более 100), начальные фазы которых задаются источниками “белого шума”. Затем

необходимо реализовать суммирование гармоник и квантование процесса во времени.

В то же время для компьютерной модели, приведенной в статье достаточно использовать всего лишь систему из трех разностных уравнений и один источник белого шума.

Выводы. Разработана математическая марковская модель стохастического сигнала, которая позволяет имитировать сигнал НР с высокой точностью. Получено выражение, аппроксимирующее теоретический спектр сигнала НР дробно-рациональной функцией при помощи полинома Тейлора. Создана компьютерная программа, которая позволяет формировать нормальный случайный процесс со спектром и АКФ, соответствующими спектру и АКФ сигнала НР с заданными параметрами.

Список литературы: 1. *Таран В.И.* Исследование ионосферы с помощью радаров некогерентного рассеяния в Харькове // Вестник Харьковского государственного политехнического университета: Сб. научн. трудов. – 1999. – Вып. 31. – С. 3 – 9. 2. *Лысенко В.Н., Капустян А.А., Бруско А.В.* Имитация НР-сигнала // Вестник Харьковского политехнического института: Исследование ионосферы методом некогерентного рассеяния. – 1986. – Вып. 4, № 234. – С. 60 – 63. 3. *Скляр И.Б.* Устройство формирования контрольного сигнала радара НР // Вестник ХГПУ: Радиофизика и ионосфера. – 1999. – Вып. 7, Ч. 3. – С. 374 – 375. 4. *Бакалов В.П.* Цифровое моделирование случайных процессов. – М.: Сайнс-пресс, 2002. – 88 с. 5. Патент України на корисну модель № 58663, МПК (2011.01) G01S 13/00. Спосіб імітації некогерентно розсіяного іоносферою сигналу / *Д.П. Бслозьоров, Є.В. Рогожкін, Т.О. Скворцов, А.В. Фисун*; власник Інститут іоносфери НАН та МОН України – № u201009678; заявл. 02.08.2010; опубл. 26.04.2011; Бюл. №8. 6. *Миронов М.А., Тихонов В.И.* Марковские процессы. – М.: Сов. радио, 1977. – 488 с. 7. *Рогожкин Е.В.* Измерение параметров ионосферной плазмы по корреляционной функции сигнала некогерентного рассеяния // Ионосферные исследования. – М.: Сов. Радио, 1979. – № 27. – С. 46 – 59. 8. *Гринченко С.В.* Оптимальный алгоритм многократных вычислений теоретических характеристик некогерентно рассеянного сигнала // Вестник ХГПУ: Физические аспекты современных технологий. – 2000. – Вып. 103. – С. 331 – 336. 9. *Пуляев В.О., Богомаз О.В.* Імітація сигналів некогерентного розсіяння з урахуванням висотного розподілу іоносферних параметрів, динаміки плазми та завадових складових // Космічна наука і технологія. – 2011. – Т. 17, № 5. – С. 24 – 28. 10. *Рогожкин Е.В., Пуляев В.А., Лысенко В.Н.* Зондирующие сигналы для исследования ионосферы методом НР: монография. – Х.: НТУ “ХПИ”, 2008. – 256 с.

Поступила в редколлегию 15.08.2012